

Zapalenie mięśnia sercowego w przebiegu zakażenia bakterią *Borrelia*.

64/07

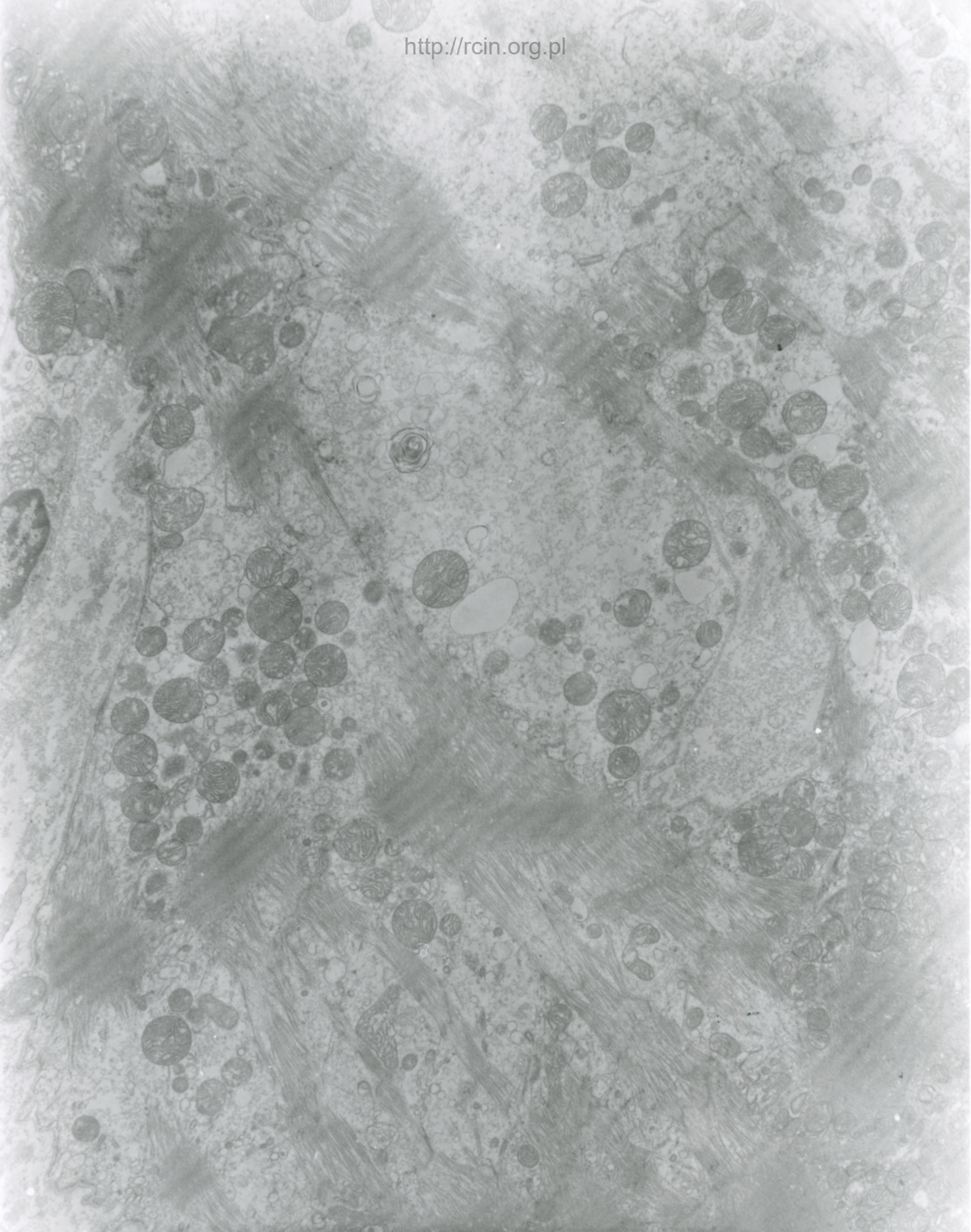
Biopsja miokardium lewej komory serca.

W ocenie ultrastrukturalnej widoczne ogniskowo zaburzenia w przebiegu miofilamentów i ich dezorganizacja (Fig. 1, 2). W niektórych kardiomiocytach widoczne zmienione ultrastrukturalnie jądra komórkowe, w sąsiedztwie których obecne są zdezorganizowane sarkomery i rozproszone miofilamenty (Fig. 3). Często na takim obszarze lizy miofilamentów obserwowano agregację mitochondriów, cechujących się jasną elektronowo macierzą (Fig. 4). Jądra komórkowe większości kardiomiocytów charakteryzują się przerwaniem ciągłości otoczki jądrowej (Fig. 5, 6,7). W przestrzeni zewnątrzkomórkowej obserwowano naczynia kapilarne, których komórki śródbłonna wykazywały cechy hipertrofii (Fig. 8).

Myocarditis secondary to *Borrelia* infection

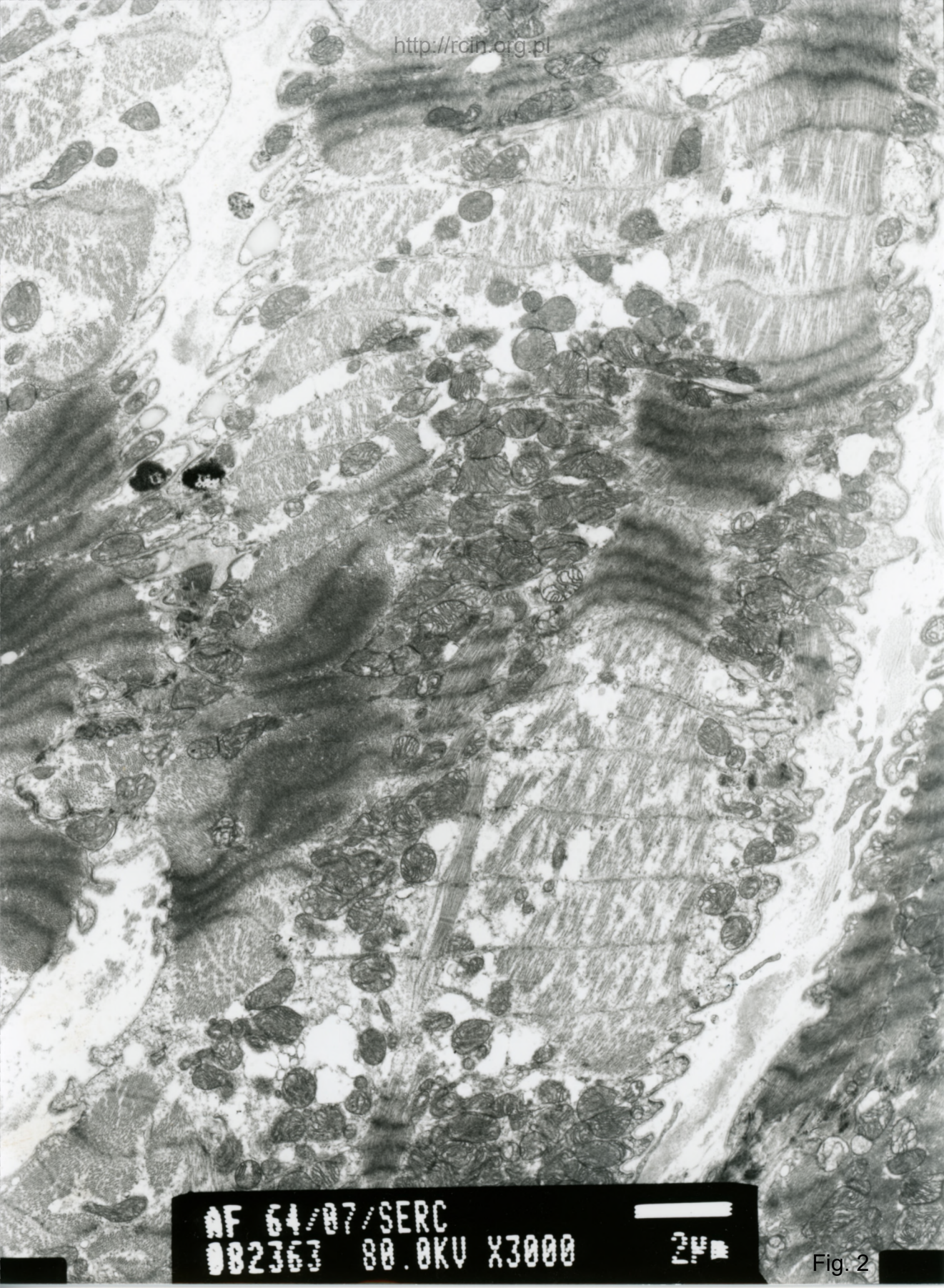
Left ventricular endomyocardial biopsy.

Ultrastructural evaluation revealed focal disturbances in the course of myofilaments and their disorganization (Fig. 1, 2). In some cardiomyocytes, ultrastructurally altered cell nuclei were present, in the vicinity of which disorganized sarcomeres and myofilaments were seen (Fig. 3). In the area of myofilament lysis, aggregation of mitochondria characterized by an electron bright matrix was observed (Fig. 4). Cell nuclei in most cardiomyocytes were characterized by breaks in the nuclear envelope (Fig. 5, 6, 7). In the extracellular space, capillaries with hypertrophic endothelial cells were observed (Fig. 8).

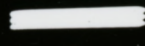


AF 64/07
073662 80.0KV X3000 2µm

Fig. 1



AF 64/07/SERC
082363 80.0KV X3000



2µm

Fig. 2

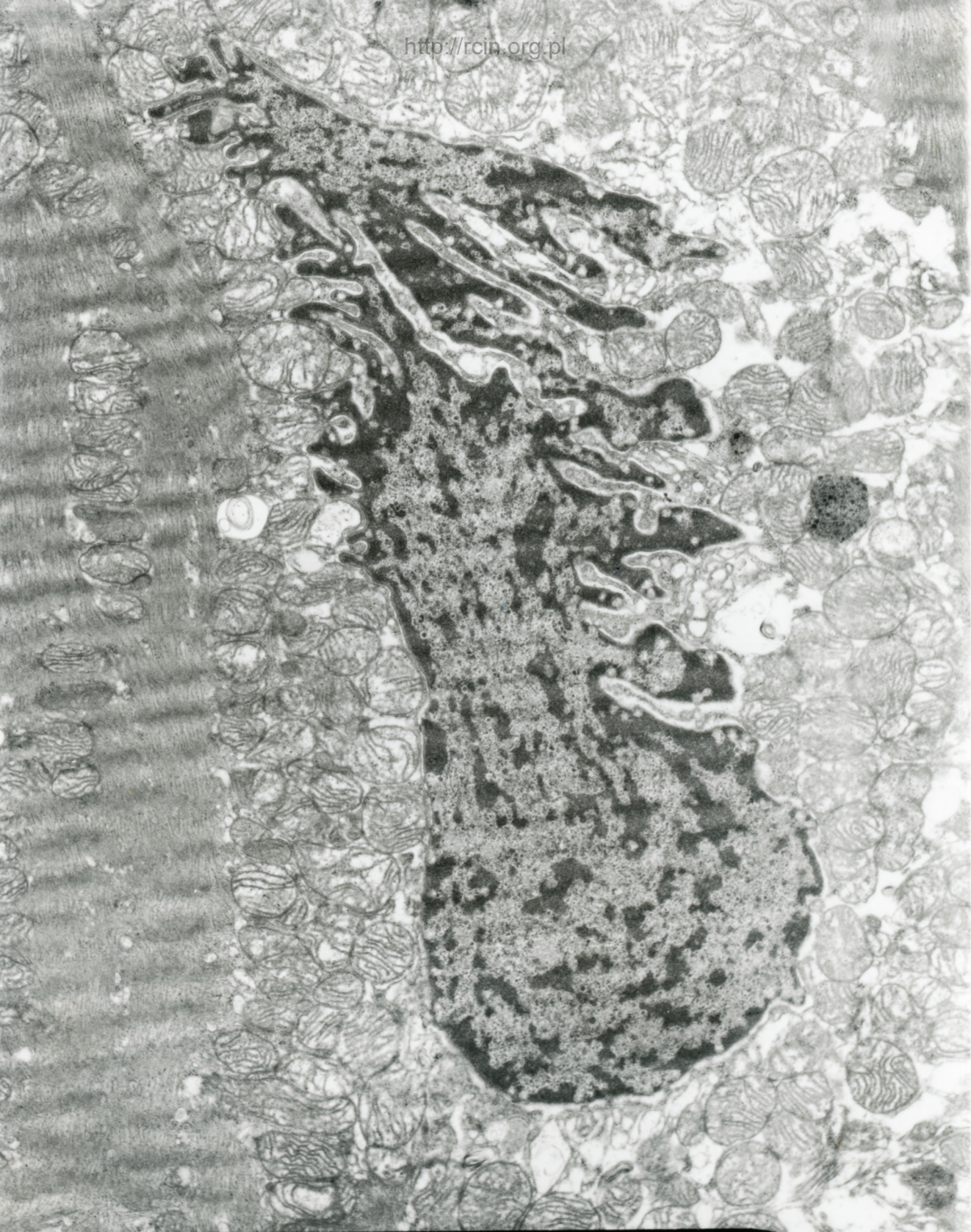


AF 64/07

073658 80.0KV X5000

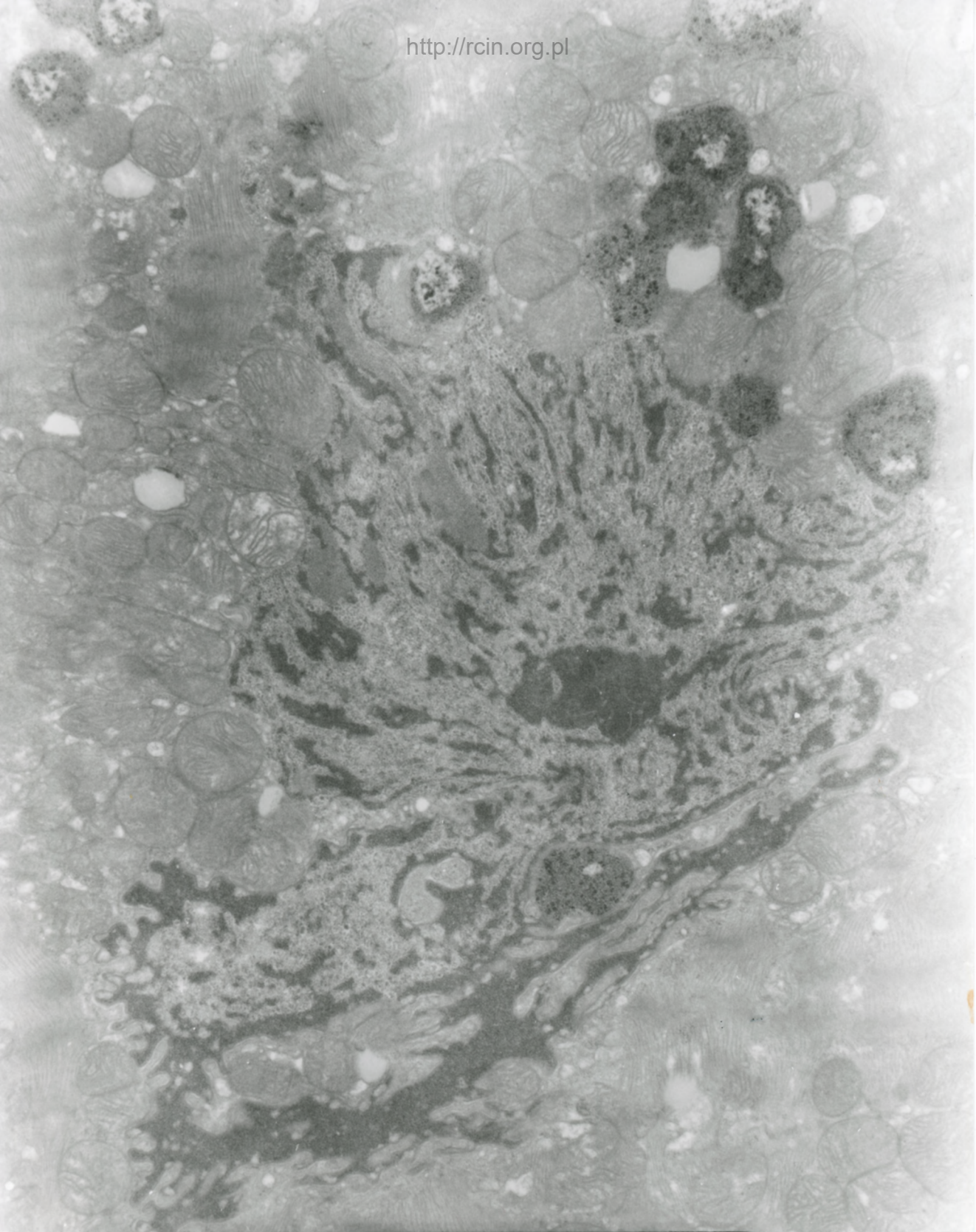
1µm

Fig. 3



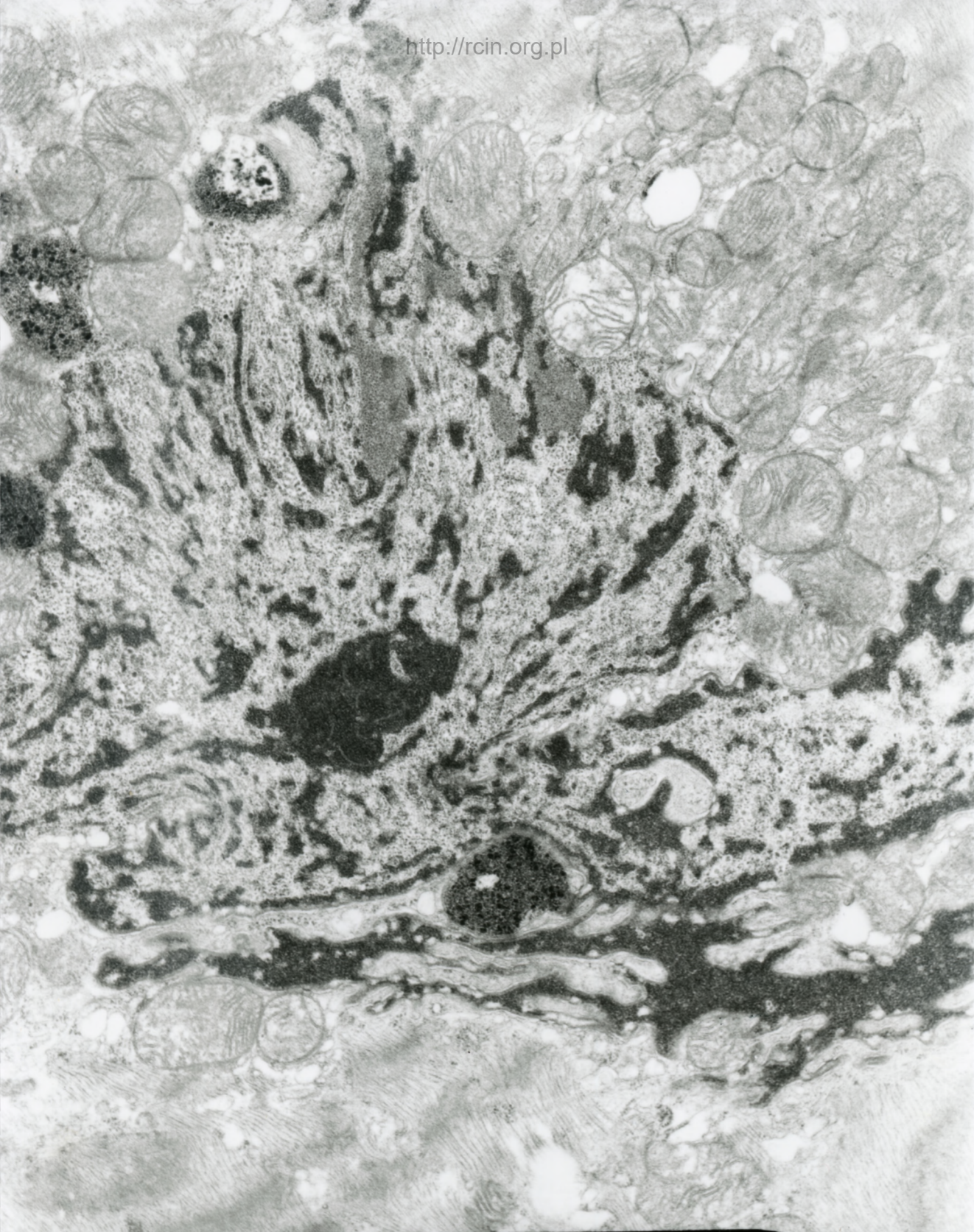
AF 64/07/SERC
002362 80.0KV X6000 1µm

Fig. 4



AF 64/07
073665 80.0KV X6000 1µm

Fig. 5



AF 64/07/SERC
082361 80.0KV X7500 1F

Fig. 6



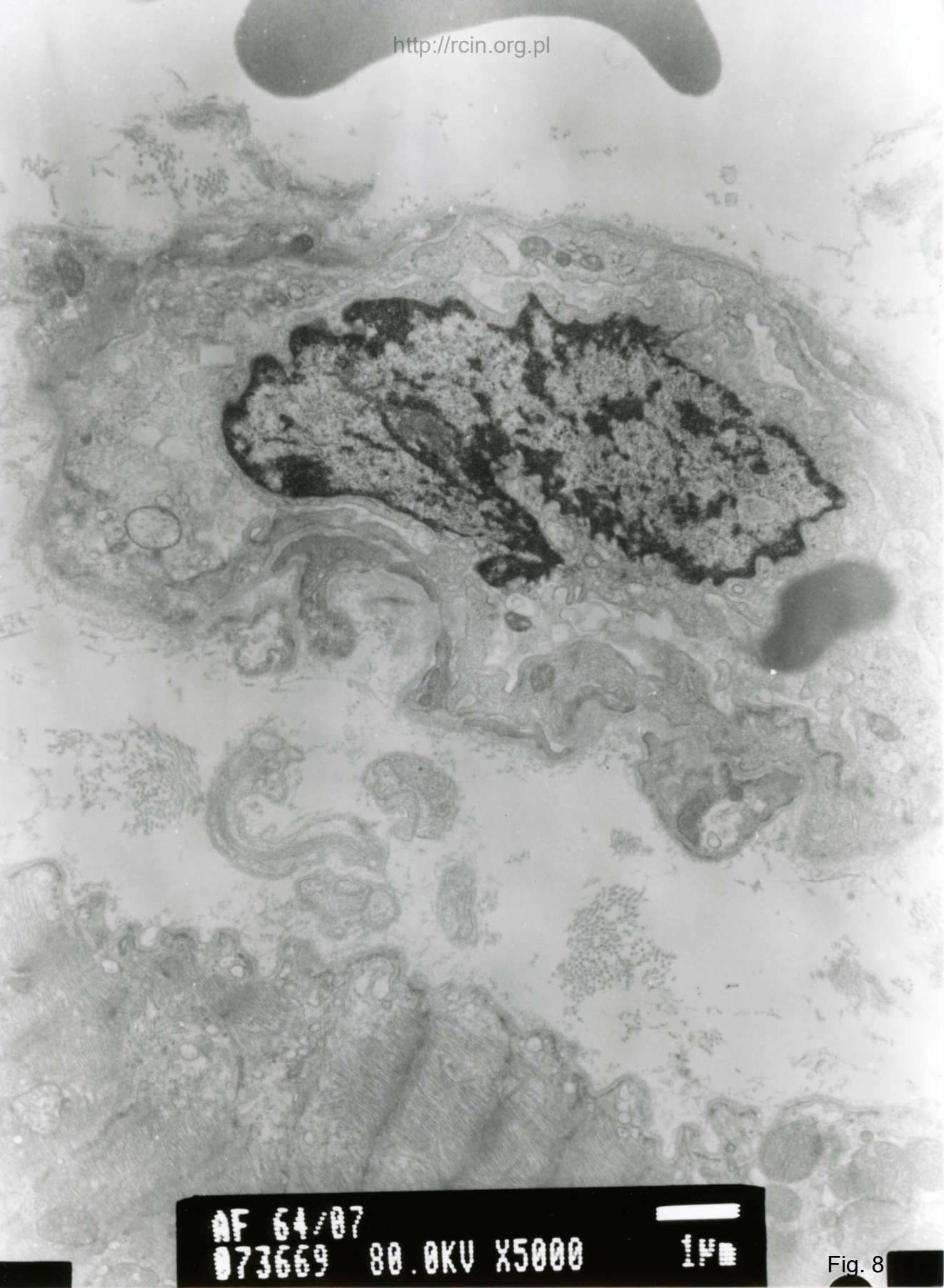
AF 64/07/SERC

082364 80.0KV

X15K

500nm

Fig. 7



AF 64/07

073669 80.0KV X5000

1µm

Fig. 8